

УДК 543.054:543.423

# АНАЛИЗ КРЕМНЕЗЕМИСТЫХ ОГНЕУПОРОВ МЕТОДОМ АТОМНО-ЭМИССИОННОЙ СПЕКТРОМЕТРИИ С ИНДУКТИВНО-СВЯЗАННОЙ ПЛАЗМОЙ В СОЧЕТАНИИ С МИКРОВОЛНОВОЙ ПРОБОПОДГОТОВКОЙ

© Е. В. Якубенко<sup>1,2</sup>, О. В. Толмачёва<sup>2</sup>, И. И. Черникова<sup>1,2</sup>, Т. Н. Ермолаева<sup>1</sup>

Статья поступила 27 мая 2016 г.

Разработана методика определения  $\text{Al}_2\text{O}_3$ ,  $\text{SiO}_2$ ,  $\text{CaO}$ ,  $\text{Fe}_2\text{O}_3$  в кремнеземистых огнеупорах методом атомно-эмиссионной спектрометрии с индуктивно-связанной плазмой (АЭС-ИСП) с микроволновой пробоподготовкой в автоклаве. Предложены состав кислотной смеси и режим ступенчатого микроволнового нагрева, обеспечивающие полноту растворения пробы и исключающие разгерметизацию автоклава, приводящую к потере анализов в виде летучих соединений. В качестве внутреннего стандарта предложено использовать Cd. Градуировочные графики для определения нормируемых макро- и микроэлементов в пересчете на оксиды методом АЭС-ИСП получены методом трех эталонов. Правильность разработанной методики подтверждена путем анализа ГСО и сопоставлением с результатами определения  $\text{Al}_2\text{O}_3$ ,  $\text{SiO}_2$ ,  $\text{CaO}$ ,  $\text{Fe}_2\text{O}_3$  в соответствии с ГОСТ. Разработанная методика позволяет в 11 раз сократить общую продолжительность анализа и в 8 раз снизить расход концентрированных кислот.

**Ключевые слова:** кремнеземистые (динасовые) огнеупоры; микроволновая пробоподготовка; атомно-эмиссионная спектрометрия с индуктивно-связанной плазмой.

Кремнеземистые (динасовые) огнеупоры применяют в металлургической промышленности для торкретирования и футеровки высокотемпературных электроплавильных печей, теплоизоляции зеркала металла в чугуновых, сталеразливочных и промежуточных ковшах при непрерывной разливке стали, утепления головной части слитков и прибыльных надставок. Такие эксплуатационные свойства защитных динасовых покрытий, как огнеупорность, устойчивость к разрушению кислыми шлаками и механическая стойкость в значительной степени обусловлены присутствием в них  $\text{CaO}$ ,  $\text{Al}_2\text{O}_3$ ,  $\text{SiO}_2$ ,  $\text{Fe}_2\text{O}_3$  [1], содержание которых в динасах определено техническими условиями и строго контролируется.

В настоящее время для анализа кремнеземистых огнеупоров нормативными документами рекомендованы продолжительные и трудоемкие титриметрические, спектрофотометрические, гравиметрические, атомно-абсорбционные методы. Достойную альтернативу таким методам представляет АЭС-ИСП, положительно зарекомендовавшая себя при определении макро- и микрокомпонентов в черных [2–4] и цветных [5–8] металлах и сплавах, а также других промышленных материалах [9–15]. Несомненные достоинства метода АЭС-ИСП (пространственно-временная стабильность ИСП, высокая воспроизводимость аналитических сигналов, простота градуирования по рас-

творам, состав которых можно корректировать в зависимости от задач, и т.д.) способствовали разработке и аттестации новых экспрессных методик анализа огнеупоров и огнеупорного сырья [15].

Анализу гетерогенных проб кремнеземистых огнеупоров методом АЭС-ИСП предшествует стадия растворения. В настоящее время отсутствует унифицированный подход к разложению кремнеземов, позволяющий количественно переводить в раствор как микро-, так и макрокомпоненты. Для разложения кремнеземов в соответствии с методиками по ГОСТ рекомендовано сплавление проб с карбонатом натрия, пиросульфатом калия или смесью карбоната натрия, карбоната калия и тетрабората натрия в равных долях. Последующее растворение сплава в разбавленной соляной кислоте приводит к образованию аморфного осадка  $n\text{SiO}_2 \cdot m\text{H}_2\text{O}$ , что исключает возможность определения элемента-основы Si методом АЭС-ИСП, а повышенное содержание в растворе ионов калия и натрия (до 25 мг/мл) уменьшает соотношение сигнал/шум, оказывает ионизационное воздействие на эмиссию определяемых элементов,искажающее аналитический сигнал, и увеличивает суммарную неопределенность результатов анализа.

Для интенсификации процесса разложения динасовых огнеупоров целесообразно проводить его в автоклаве при воздействии микроволнового поля [11, 15–18]. В частности, в работе [17] для разложения природных силикатов рекомендована одностадийная обработка пробы смесью  $\text{HCl}$ ,  $\text{HF}$  и  $\text{H}_3\text{BO}_3$  в условиях

<sup>1</sup> Липецкий государственный технический университет, г. Липецк, Россия; e-mail: alyenka13@yandex.ru

<sup>2</sup> ПАО «НЛМК», г. Липецк, Россия.

микроволнового нагрева в закрытом автоклаве. Образующаяся непосредственно в реакторе  $\text{HBF}_4$  эффективно растворяет соединения кремния, предотвращая образование летучего  $\text{SiF}_4$  и нерастворимых фторидных комплексов кальция, магния, алюминия. Поскольку в кремнеземистых огнеупорах присутствует значительное количество  $\text{SiO}_2$  (до 97 % масс.), для полного переведения пробы в раствор необходимо изменение соотношения кислот в смеси и температурно-временных параметров растворения.

Цель работы — разработка методики микроволновой пробоподготовки и определения оксидов алюминия, кремния, кальция, железа (III) в кремнеземистых огнеупорах методом АЭС-ИСП.

В качестве объектов исследования выбраны огнеупорные засыпки марок Siltis NS, Innsulekx, Forvard SS-G с нормируемым содержанием оксидов алюминия, кремния, кальция, железа (III) (табл. 1). Для контроля правильности разработанной методики применяли государственный стандартный образец (ГСО 170-85П) динасового огнеупора марки ЭД(К1в).

В работе использовали азотную, плавиковую, соляную, фосфорную (хч) и борную (осч) кислоты без предварительной очистки.

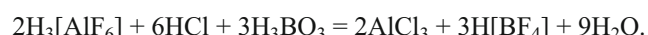
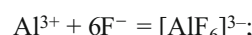
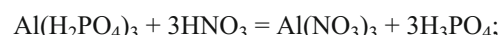
Разложение кремнеземов осуществляли в микроволновой системе «SpeedWave four» (Berghoff, Германия) мощностью 1500 Вт, оснащенной фторопластовыми сосудами DAK-100/4 вместимостью 100 см<sup>3</sup>, способными выдерживать давление до 100 атм. Навеску образца массой 0,1 г растворяли в условиях микроволнового нагрева в 11 мл смеси кислот HF, HCl, HNO<sub>3</sub>, H<sub>3</sub>PO<sub>4</sub>, взятых в соотношении 6:3:1:1, с добавлением 2 г H<sub>3</sub>BO<sub>3</sub>.

Экспериментально установлено, что линейный характер зависимости относительной интенсивности спектральной линии от концентрации всех нормируемых компонентов при АЭС-ИСП анализе достигается при разбавлении 1:10 000.

Атомно-эмиссионный анализ огнеупоров проводили с использованием спектрометра с индуктивно-связанной плазмой iCAP 6500 Duo (Thermo Scientific, США). При выборе рабочих длин волн (нм) линий определяемых элементов (Al I 396,152; Si I 251,611; Ca II 317,933; Fe II 259,940) и внутреннего стандарта (Cd II 226,502; Cd I 228,802) руководствовались характером возбуждения спектральных линий (атомные/ионные), значением интенсивности и отсут-

ствием значимых спектральных наложений, которые выявляли путем анализа водных растворов, содержащих минимальную концентрацию определяемого элемента и максимальную — матричных и сопутствующих элементов.

Состав кислотной смеси и режим микроволнового разложения оптимизировали с использованием ГСО 170-85П К1в, близкого по составу к анализируемым пробам. Минеральные кислоты для разложения проб в автоклаве выбирали с учетом химической природы матрицы образца и присутствия труднорастворимых компонентов. Поскольку в состав кремнеземистых огнеупоров входит устойчивый к действию кислот Al<sub>2</sub>O<sub>3</sub>, в кислотную смесь для растворения включали HF, HCl, HNO<sub>3</sub>, H<sub>3</sub>PO<sub>4</sub> и H<sub>3</sub>BO<sub>3</sub>. Схематично растворение Al<sub>2</sub>O<sub>3</sub> можно представить в виде последовательных реакций [19, 20]:



В то же время из-за высокого содержания оксида кремния (более 85 % масс.) увеличивали объем HF по отношению к другим кислотам (HF:HCl:HNO<sub>3</sub>:H<sub>3</sub>PO<sub>4</sub> — 6:3:1:1). Объем фтороводородной кислоты в смеси варьировали от 0,43 до 8 мл включительно. Минимальный объем HF, необходимый для растворения кремнеземов, рассчитан по уравнению реакции взаимодействия кислоты и SiO<sub>2</sub> (97 % масс.). Экспериментально установлено, что 6 мл HF достаточно для полного переведения в раствор элемента-основы всех рассматриваемых проб кремнеземов при массе навески 0,1 г.

Поскольку присутствие HCl и HNO<sub>3</sub> (3:1) способствует возникновению избыточного давления насыщенного пара в автоклаве, для предотвращения потери определяемых компонентов вследствие разгерметизации сосудов, а также для снижения вероятности образования осадка нерастворимых фторидов в пробу в сухом виде вводили борную кислоту.

Экспериментально установлено, что для полного переведения в раствор кремнеземистых огнеупоров необходим пятиступенчатый нагрев с выдержкой при определенной температуре на каждой ступени

**Таблица 1.** Химический состав объектов исследования

Марка	Нормативный документ	Содержание, % масс.			
		Al <sub>2</sub> O <sub>3</sub>	SiO <sub>2</sub>	CaO	Fe <sub>2</sub> O <sub>3</sub>
Siltis NS	ТУ 1523-001-97976618	≤5	85—95	—	≤5
Innsulekx	ТУ 1522-001-99958856	0,1—3,5	80—95	0,1—1,7	0,2—2,2
Forvard SS-G	ТУ 1523-019-77889395	≤3	85—95*	—	≤3

\* Содержание компонента нормируется на сухое вещество.

**Таблица 2.** Условия разложения проб кремнеземов при мощности микроволнового поля 1120 Вт

Шаг	Продолжительность, мин		Температура, °C
	нагрева	выдержки при заданной температуре	
1	4	3	50
2	5	3	100
3	15	3	150
4	15	5	200
5	15	15	250

(табл. 2). Быстрый нагрев пробы в интервале (25 – 250) °C способствует резкому возрастанию давления в автоклаве, поэтому во избежание разгерметизации сосудов нагрев осуществляли со скоростью 6,25 °C/мин до первой и 3,3 °C/мин до третьей, четвертой и пятой ступеней. При нагревании в интервале 50 – 100 °C скорость нагрева может быть увеличена до 10 °C/мин для повышения эффективности взаимодействия смеси кислот с частицами пробы. Максимальная температура нагрева составляет 250 °C с выдержкой в течение 15 мин, что обеспечивает полное растворение пробы. Таким образом, кремнеземы полностью разлагаются 11 мл смеси HF, HCl, HNO<sub>3</sub>, H<sub>3</sub>PO<sub>4</sub> (6:3:1:1) с добавлением 2 г H<sub>3</sub>BO<sub>3</sub> в течение 83 мин.

Ранее было отмечено [15], что улучшению воспроизводимости аналитических сигналов за счет нивелирования физических помех способствует введение внутреннего стандарта в одинаковых концентрациях (0,001 г/мл) в «холостой», градуировочные и исследуемые растворы. Поскольку содержание кальция в кремнеземистых огнеупорах, как правило, ниже 2 % масс., использование в качестве внутреннего стандарта Y затруднено из-за спектрального наложения линий Ca II 317,933 нм и Y II 317,942 нм. Поэтому при анализе кремнеземов в качестве внутреннего стандарта предложено использовать Cd.

Для построения градуировочных графиков использовали модельные растворы и растворы ГСО с добавками элементов в пересчете на оксидную форму (табл. 3). Градуировочные графики в координатах  $I_{\text{отн}} - C$  (% масс.), где  $I_{\text{отн}} = I_{\text{элемента}}/I_{\text{Cd}}$ , получали методом трех эталонов. Значения коэффициентов корреляции ( $r \geq 0,9998$ ) подтверждают линейный характер зависимости относительной интенсивности спектральной линии от концентрации компонента при разбавле-

**Таблица 4.** Результаты анализа ГСО 170-85П К1в при определении Al<sub>2</sub>O<sub>3</sub>, SiO<sub>2</sub>, CaO, Fe<sub>2</sub>O<sub>3</sub> ( $n = 11$ ;  $P = 0,95$ ;  $t_{\text{табл}} = 2,23$ )

Компонент	Содержание, % масс.		$s_r$	$t_{\text{эксп}}$
	аттестованное	найденное $\bar{x} \pm \Delta$		
Al <sub>2</sub> O <sub>3</sub>	0,55	0,548 ± 0,004	0,01	1,21
SiO <sub>2</sub>	96,1	96,4 ± 0,6	0,01	1,03
CaO	1,35	1,35 ± 0,01	0,01	0,98
Fe <sub>2</sub> O <sub>3</sub>	1,36	1,34 ± 0,03	0,03	1,65

ни 1:10 000. Расчет доверительных интервалов параметров градуировочной функции  $y = bx + a$  показал незначимое отличие константы  $a$  от 0 для Fe<sub>2</sub>O<sub>3</sub>, что в дальнейшем позволяет осуществлять градуировку по одному эталону.

Правильность определения Al<sub>2</sub>O<sub>3</sub>, SiO<sub>2</sub>, CaO, Fe<sub>2</sub>O<sub>3</sub> проверяли путем анализа стандартного образца К1в. Сопоставление табличных и рассчитанных с учетом дисперсии коэффициентов Стьюдента не выявило значимых различий между аттестованными и найденными значениями (табл. 4). Значения относительного стандартного отклонения  $s_r$  (0,01 – 0,03) свидетельствуют о высокой прецизионности определения элементов в огнеупорах.

Методика АЭС-ИСП анализа с микроволновой пробоподготовкой апробирована при анализе производственных образцов кремнеземов. Результаты определения нормируемых оксидов Al<sub>2</sub>O<sub>3</sub>, SiO<sub>2</sub>, CaO, Fe<sub>2</sub>O<sub>3</sub> по разработанной методике сопоставлены с данными, полученными с применением методик по ГОСТ (табл. 5).

С применением критерия Фишера установлено, что отличие в воспроизводимости определения оксидов имеет случайный характер и результаты принадлежат одной генеральной совокупности ( $F_{\text{эксп}} < F_{\text{табл}}$ ). Дальнейшая обработка результатов по модифицированному тесту Стьюдента показала отсутствие систематической погрешности и равноточность полученных данных ( $t_{\text{эксп}} < t_{\text{табл}}$ ) (см. табл. 5).

Таким образом, методика определения SiO<sub>2</sub>, Al<sub>2</sub>O<sub>3</sub>, Fe<sub>2</sub>O<sub>3</sub>, CaO в кремнеземах методом АЭС-ИСП в сочетании с микроволновым разложением в автоклаве обеспечивает высокие прецизионность и правильность, сопоставимые с классическими методами «мокрой» химии. Разработанная методика позволяет в 11 раз снизить общую продолжительность анализа за счет одновременного определения всех нормируемых

**Таблица 3.** Характеристики градуировочных зависимостей для определения Al, Si, Ca, Fe (в пересчете на оксиды) методом АЭС-ИСП

Оксид	Коэффициенты		Диапазон градуировки, % масс.	$C_{\min} \cdot 10^{-2}$ , % масс.	$r$
	$\bar{b} \pm \Delta$	$\bar{a} \pm \Delta$			
Al <sub>2</sub> O <sub>3</sub>	0,086 ± 0,007	0,03 ± 0,02	0 – 5,55	10	0,9996
SiO <sub>2</sub>	0,0198 ± 0,0004	0,18 ± 0,03	0 – 97,1	56	>0,9999
CaO	0,073 ± 0,004	0,02 ± 0,01	0 – 2,35	5,3	0,9998
Fe <sub>2</sub> O <sub>3</sub>	0,037 ± 0,002	—	0 – 3,36	1,1	0,9998

**Таблица 5.** Результаты определения  $\text{Al}_2\text{O}_3$ ,  $\text{SiO}_2$ ,  $\text{CaO}$ ,  $\text{Fe}_2\text{O}_3$  в кремнеземах по стандартным и разработанной методикам ( $n = 11$ ;  $P = 0,95$ ;  $F_{\text{табл}} = 3,0$ ;  $t_{\text{табл}} = 2,09$ )

Образец	Стандартный метод*		АЭС-ИСП		$F_{\text{эксп}}$	$t_{\text{эксп}}$
	$\bar{x} \pm \Delta$ , % масс.	$s_r$	$\bar{x} \pm \Delta$ , % масс.	$s_r$		
<b><math>\text{SiO}_2</math></b>						
Siltis NS	$90,9 \pm 0,6$	0,01	$90,7 \pm 0,6$	0,01	1,0	0,53
Innsulekx	$94,1 \pm 0,6$	0,01	$94,6 \pm 0,6$	0,01	1,0	1,31
Forward SS-G	$89,6 \pm 0,6$	0,01	$88,9 \pm 0,6$	0,01	1,0	1,84
<b><math>\text{Al}_2\text{O}_3</math></b>						
Siltis NS	$5,50 \pm 0,08$	0,02	$5,60 \pm 0,08$	0,02	1,0	1,97
Innsulekx	$0,70 \pm 0,08$	0,17	$0,66 \pm 0,08$	0,18	1,0	0,79
Forward SS-G	$3,00 \pm 0,14$	0,07	$3,05 \pm 0,15$	0,07	1,1	0,55
<b><math>\text{Fe}_2\text{O}_3</math></b>						
Siltis NS	$2,98 \pm 0,07$	0,03	$3,00 \pm 0,08$	0,04	1,3	0,42
Innsulekx	$0,58 \pm 0,07$	0,18	$0,57 \pm 0,08$	0,21	1,3	0,21
Forward SS-G	$2,16 \pm 0,07$	0,05	$2,20 \pm 0,08$	0,05	1,3	0,84
<b><math>\text{CaO}</math></b>						
Innsulekx	$1,10 \pm 0,13$	0,18	$1,04 \pm 0,13$	0,19	1,0	0,73

\* Содержание  $\text{CaO}$  определяли титриметрическим,  $\text{Fe}_2\text{O}_3$  — атомно-абсорбционным,  $\text{Al}_2\text{O}_3$  — титриметрическим или фотометрическим,  $\text{SiO}_2$  — гравиметрическим методами (ГОСТ 2642.0, ГОСТ 2642.3, ГОСТ 2642.4, ГОСТ 2642.5, ГОСТ 2642.7).

мых компонентов, в 8 раз уменьшить расход концентрированных кислот, значительно сократить перечень применяемых реагентов. Методика может быть рекомендована для анализа кремнеземистых огнеупоров, схожих по химическому составу с анализируемыми пробами.

## ЛИТЕРАТУРА

- Кашеев И. Д., Стрелов К. К., Мамыкин П. С. Химическая технология огнеупоров: учебное пособие. — М.: Интермет Инжиниринг, 2007. — 752 с.
- Wiltche H., Brenner I. B., Knapp G., Prattes K. Simultaneous determination of As, Bi, Se, Sn and Te in high alloy steels — re-evaluation of hydride generation inductively coupled plasma atomic emission spectrometry / J. Anal. Atom. Spectrom. 2007. Vol. 22. P. 1083 – 1088.
- Recknagel S., Richter S., Reinholdsson F., et al. An intercomparison study of analytical methods for the determination of magnesium in low alloy steel / Steel Res. Int. 2012. Vol. 83. N 2. P. 146 – 149.
- Hlaváčková I., Hlaváček I. Multi-element analysis of some high silicon content ferroalloys by inductively coupled plasma atomic emission spectrometry / J. Anal. Atom. Spectrom. 1994. Vol. 9. P. 251 – 255.
- Бухбиндер Г. Л., Коротков В. А., Арак М. Н., Шихарева Н. П. Анализ катодной меди на спектрометрах серии iCAP 6000 / Заводская лаборатория. Диагностика материалов. 2011. Т. 77. № 3. С. 11 – 13.
- Карачевцев Ф. Н., Загвоздкина Т. Н., Дворецков Р. М. Определение кремния в никелевых сплавах методом АЭС-ИСП в сочетании с микроволновой пробоподготовкой / Труды ВИАМ. 2015. № 12. С. 55 – 60.
- Дворецков Р. М., Карачевцев Ф. Н., Загвоздкина Т. Н., Механик Е. А. Определение легирующих элементов никелевых сплавов авиационного назначения методом АЭС-ИСП в сочетании с микроволновой пробоподготовкой / Заводская лаборатория. Диагностика материалов. 2013. Т. 79. № 9. С. 6 – 9.
- Романова Н. Б., Печищева Н. В., Шуняев К. Ю. и др. Определение вольфрама, титана, молибдена, ниобия, ванадия в сталях и сплавах на никелевой основе методом атомно-эмиссионной спектрометрии с индуктивно-связанной плазмой / Заводская лаборатория. Диагностика материалов. 2013. Т. 79. № 3. С. 3 – 7.
- Майорова А. В., Воронцова К. А., Печищева Н. В. и др. Определение оксида кремния в рудном сырье методом атомно-эмиссионной спектрометрии с индуктивно-связанной плазмой / Заводская лаборатория. Диагностика материалов. 2013. Т. 79. № 12. С. 9 – 15.
- Симаков В. А., Васильев Г. А., Григорьев Д. В., Султанов И. В. Определение основных компонентов марганцевых руд атомно-эмиссионным методом с индуктивно-связанной плазмой / Заводская лаборатория. Диагностика материалов. 2013. Т. 79. № 7. Ч. I. С. 3 – 6.
- Тормышева Е. А., Смирнова Е. В., Ермолаева Т. Н. Определения оксидов железа (III), кальция и алюминия в магнезиальных огнеупорах методом АЭС с ИСП в условиях микроволнового разложения пробы / Вестник ВГУ. Серия: Химия. Биология. Фармация. 2010. № 1. С. 51 – 55.
- Неробеева И. В., Ермолаева Т. Н. Определение бора в высокоглиноземистом полупродукте методом атомно-эмиссионной спектроскопии с индуктивно-связанной плазмой / Заводская лаборатория. Диагностика материалов. 2008. Т. 74. № 5. С. 3 – 6.
- Шаверина А. В., Цыганкова А. Р., Сапрыкин А. И. Разработка прямой и комбинированных ИСП-АЭС методик анализа кремния / Сб. тезисов Всероссийской конференции по аналитической спектроскопии. Краснодар, 2012. С. 81.
- Шаверина А. В., Цыганкова А. Р., Шелпакова И. Р., Сапрыкин А. И. АЭС-ИСП анализ высокочистого кремния / Заводская лаборатория. Диагностика материалов. 2012. Т. 78. № 4. С. 9 – 13.
- Якубенко Е. В., Войткова З. А., Ермолаева Т. Н. Микроволновая пробоподготовка огнеупоров и огнеупорного сырья для определения оксидов магния, алюминия, кремния, кальция и железа (III) методом АЭС-ИСП / Заводская лаборатория. Диагностика материалов. 2014. Т. 80. № 3. С. 15 – 19.
- Доронина М. С., Карпов Ю. А., Барановская В. Б. Современные методы пробоподготовки возвратного металлсодержащего сырья (обзор) / Заводская лаборатория. Диагностика материалов. 2016. Т. 82. № 3. С. 5 – 12.
- Корсакова Н. В., Торопченова Е. С., Кригман Л. В. и др. Анализ силикатных материалов с использованием микроволновой пробоподготовки / Заводская лаборатория. Диагностика материалов. 2009. Т. 75. № 4. С. 23 – 27.
- Кубракова И. В., Торопченова Е. С. Микроволновая подготовка проб в геохимических и экологических исследованиях / Журн. аналит. химии. 2013. Т. 68. № 6. С. 524 – 534.
- Доманский А. И., Орлов Ю. И., Румянцев П. Ф., Шидловская О. В. Кинетические закономерности взаимодействия моно-кристаллических оксида алюминия и диоксида кремния с фосфорной кислотой / Физика и химия стекла. 2007. Т. 33. № 1. С. 80 – 89.
- Тихонов В. Н. Аналитическая химия алюминия. — М.: Наука, 1971. — 266 с.

## REFERENCES

1. Kashcheev I. D., Strelov K. K., Mamykin P. S. Khimicheskaya tekhnologiya ogneuporov: uchebnoe posobie [Chemical refractories technology: a training manual]. — Moscow: Intermet Inzhiniring, 2007. — 752 p. [in Russian].
2. Wiltsche H., Brenner I. B., Knapp G., Pratges K. Simultaneous determination of As, Bi, Se, Sn and Te in high alloy steels — re-evaluation of hydride generation inductively coupled plasma atomic emission spectrometry / J. Anal. Atom. Spectrom. 2007. Vol. 22. P. 1083 – 1088.
3. Recknagel S., Richter S., Reinholdsson F., et al. An intercomparison study of analytical methods for the determination of magnesium in low alloy steel / Steel Res. Int. 2012. Vol. 83. N 2. P. 146 – 149.
4. Hlaváčková I., Hlaváček I. Multi-element analysis of some high silicon content ferroalloys by inductively coupled plasma atomic emission spectrometry / J. Anal. Atom. Spectrom. 1994. Vol. 9. P. 251 – 255.
5. Bukhbinder G. L., Korotkov V. A., Arak M. N., Shikhareva N. P. Analiz katodnoi medi na spektrometrakh serii iCAP 6000 [Analysis of cathode copper in iCAP 6000 Series ICP emission spectrometers] / Zavod. Lab. Diagn. Mater. 2011. Vol. 77. N 3. P. 11 – 13 [in Russian].
6. Karachevtsev F. N., Zagvozdina T. N., Dvoretskov R. M. Opredelenie kremniya v nikellevykh splavakh metodom AÉS-ISP v sochetanii s mikrovolnovoi probopodgotovkoj [Determination of silicon in nickel alloys by ICP-AES combined with microwave sample preparation] / Trudy VIAM. 2015. N 12. P. 55 – 60 [in Russian].
7. Dvoretskov R. M., Karachevtsev F. N., Zagvozdina T. N., Mekhanik E. A. Opredelenie legiruyushchikh elementov nikellevykh splavov aviationskogo naznacheniya metodom AÉS-ISP v sochetanii s mikrovolnovoi probopodgotovkoj [Determination of alloying elements of nickel alloys of aviation duty by ICP-AES in combination with microwave sample preparation] / Zavod. Lab. Diagn. Mater. 2013. Vol. 79. N 9. P. 6 – 9 [in Russian].
8. Romanova N. B., Pechishcheva N. V., Shunyaev K. Yu., et al. Opredelenie vol'frama, titana, molibdena, niobiya, vanadiya v stalyakh i splavakh na nikellevoi osnove metodom atomno-émissionnoi spektrometrii s induktivno-svyazannoi plazmoi [Determination of tungsten, titanium, molybdenum, niobium, and vanadium in steels and nickel-based alloys by atomic emission spectrometry with inductively coupled plasma] / Zavod. Lab. Diagn. Mater. 2013. Vol. 79. N 3. P. 3 – 7 [in Russian].
9. Maiorova A. V., Vorontsova K. A., Pechishcheva N. V., et al. Opredelenie oksida kremniya v rudnom syr'e metodom atomno-émissionnoi spektrometrii s induktivno-svyazannoi plazmoi [Determination of silica in ore raw materials by atomic emission spectrometry with inductively coupled plasma] / Zavod. Lab. Diagn. Mater. 2013. Vol. 79. N 12. P. 9 – 15 [in Russian].
10. Simakov V. A., Vasil'ev G. A., Grigor'ev D. V., Sulkhanov I. V. Opredelenie osnovnykh komponentov margantsevykh rud atomno-émissionnym metodom s induktivno-svyazannoi plazmoi [Determination of the main components of manganese ores using atomic emission method with inductively coupled plasma] / Zavod. Lab. Diagn. Mater. 2013. Vol. 79. N 7. Part I. P. 3 – 6 [in Russian].
11. Tormysheva E. A., Smirnova E. V., Ermolaeva T. N. Opredeleniya oksidov zheleza (III), kal'tsiya i alyuminija v magnezial'nykh ogneuporakh metodom AÉS s ISP v usloviyah mikrovolnovogo razlozheniya proby [Determination of iron oxide (III), calcium oxide and aluminum oxide in magnesia refractories by ICP-AES under microwave sample decomposition] / Vestnik VGU. Ser. Khimiya. Biol. Farm. 2010. N 1. P. 51 – 55 [in Russian].
12. Nerobeeva I. V., Ermolaeva T. N. Opredelenie bora v vysokoglinozemistom poluprodukte metodom atomno-émissionnoi spektroskopii s induktivno-svyazannoi plazmoi [Determination of B in high-silica semi-product using a method of atomic-absorption spectroscopy with induction-bound plasma] / Zavod. Lab. Diagn. Mater. 2008. Vol. 74. N 5. P. 3 – 6 [in Russian].
13. Shaverina A. V., Tsygankova A. R., Saprykin A. I. Razrabotka pryamoi i kombinirovannykh ISP-AÉS metodik analiza kremniya [Development of direct and combined ICP-AES analysis techniques silicon] / Abstrs. of the All-Russia Conf. on Analyt. Spectrosc. Krasnodar, 2012. P. 81 [in Russian].
14. Shaverina A. V., Tsygankova A. R., Shelpakova I. R., Saprykin A. I. AÉS-ISP analiz vysokochistogo kremniya [ICP-AES analysis of high-purity Si] / Zavod. Lab. Diagn. Mater. 2012. Vol. 78. N 4. P. 9 – 13 [in Russian].
15. Yakubenko E. V., Voitkova Z. A., Ermolaeva T. N. Mikrovolnovaya probopodgotovka ogneupornogo syr'ya dlya opredeleniya oksidov magniya, alyuminija, kremniya, kal'tsiya i zheleza (III) metodom AÉS-ISP [Microwave sample preparation of the refractories and refractory materials for determination of magnesium, aluminum, silicon, calcium, and iron (III) oxides using ICP-AES] / Zavod. Lab. Diagn. Mater. 2014. Vol. 80. N 3. P. 15 – 19 [in Russian].
16. Doronina M. S., Karpov Yu. A., Baranovskaya V. B. Sovremennyye metody probopodgotovki vozvratnogo metalla soderzhashchego syr'ya (obzor) [Current methods of sample preparation developed for metal-containing recoverable raw (review)] / Zavod. Lab. Diagn. Mater. 2016. Vol. 82. N 3. P. 5 – 12 [in Russian].
17. Korsakova N. V., Toropchenova E. S., Krigman L. V., et al. Analiz silikatnykh materialov s ispol'zovaniem mikrovolnovoi probopodgotovki [Analysis of silicate materials using microwave sampling] / Zavod. Lab. Diagn. Mater. 2009. Vol. 75. N 4. P. 23 – 27 [in Russian].
18. Kubrakova I. V., Toropchenova E. S. Mikrovolnovaya podgotovka prob v geokhimicheskikh i ékologicheskikh issledovaniyakh [Microwave sample preparation in geological and environmental studies] / Zh. Analit. Khimii. 2013. Vol. 68. N 6. P. 524 – 534 [in Russian].
19. Domanskii A. I., Orlov Yu. I., Rumyantsev P. F., Shidlovskaya O. V. Kineticzheskie zakonomernosti vzaimodeistviya monokristallicheskikh oksida alyuminija i dioksida kremniya s fosforozi kislotoi [Kinetic regularities of the interaction of aluminum oxide and silicon dioxide single crystals with phosphoric acid] / Fiz. Khimiya Stekla. 2007. Vol. 33. N 1. P. 80 – 89 [in Russian].
20. Tikhonov V. N. Analiticheskaya khimiya alyuminija [Analytical chemistry of aluminum]. — Moscow: Nauka, 1971. — 266 p. [in Russian].